

Bloom Filter를 이용한 악성 코드 탐지 방안

이상준⁰ 허환조 김효곤 최린

고려대학교

smileland4u@hanmail.net⁰, {urmajest, hyogon, lchoi}@korea.ac.kr

Filtering of Malicious Codes using Bloom Filter

Sanghoon Lee⁰ Hwanjo Heo Hyogon Kim Lynn Choi
Korea University

요약

바이러스로 시작된 악성 코드는 웜이라는 형태로 발전하였다. 인터넷망의 고속화와 확장에 의해 웜의 전파 속도와 감염 범위는 증가하였지만, 아직까지 웜을 차단할 수 있는 획기적인 방법은 개발되지 않았고, 웜에 의한 피해는 갈수록 치명적인 결과를 놓고 있다. 본고에서는 Bloom Filter[1]를 이용한 content filtering 방법을 제안한다. 실험을 통해, 이미 알려진 웜에 대한 Bloom Filter의 성능을 검증하였으며, 알려지지 않은 웜에 대한 Bloom Filter의 적용 방법도 제안한다.

1. 서론

2003년 1월 25일 발생한 SQL-Slammer 웜은 MS-SQL 서버의 취약점을 이용하여 전파되었고, 이로 인해 국내외 인터넷망이 마비되었다. CAIDA(Cooperative Association for Internet Data Analysis)의 분석 보고서에 따르면, 8.5초마다 감염된 서버의 수가 두 배로 증가하였으며, 10분 후에는 전 세계 MS-SQL 서버의 약 90%가 감염되었다.[2] 이와 같은 새로이 출현하는 웜에 의한 피해 뿐만 아니라, 이미 알려진 웜에 의한 공격도 꾸준히 계속되고 있다.[3]

본고에서는 이러한 악성 코드의 공격에 대응하기 위해, Bloom Filter를 이용한 새로운 content filtering 방법을 제안한다. 이 방법은 pattern matching에 기반을 둔 기존의 content filtering 방법과는 달리 두 가지 장점을 가진다. 첫째로, Bloom Filter는 hash 함수를 사용하므로 기존의 pattern matching 방법에 비해 속도가 빠르다. 두 번째는, Bloom Filter는 알려진 웜뿐만 아니라 알려지지 않은 웜도 차단할 수 있다는 점이다.

2. 알려진 웜에 대한 filtering

본고에서는 웜에 대해 두 가지 가정을 하였다.

- ① *No polymorphism* : 웜은 하나의 형태를 가지고, 변형을 생산하지 않는다.
- ② *Worms in the fore part of payload* : 웜은 payload의 앞부분에 위치하며, payload의 첫 c bytes 내에 웜의 정보가 포함되어 있다.

Content filtering이 가능하기 위해서는 첫 번째 가정이 필요하며,[4] 두 번째 가정은 웜의 크기가 최소한 c bytes 이상이어야 함을 의미한다. 또한, 첫 c bytes만 검사하므로 c는 패킷의 최소 길이보다 길어야 한다. 실험에서는 c는 256으로 설정하였다.

Bloom Filter는 hash 함수를 통해 x개의 주어진 signature에서 y-bits의 결과를 얻고, bit vector의 index로 사용한다.[1]

Filter 크기가 m-bits이고, k개의 hash 함수를 사용해서 총 n개의 signature로 filter를 생성한 경우 false-positive는 $P_e = (1 - (1 - 1/m)^k)^n$ 이다.

본고에서는 세 개의 hash 함수를 사용하였다.

- ① Bit extraction[5] : 이 함수는 payload의 첫 256bytes에서 선택적으로 16bits와 24bits를 추출한다. 이 때 filter 크기는 2^{16} 과 2^{24} 이 된다.
- ② Byte selection with XOR[5] : Payload의 첫 256bytes에서 h + 4i의 위치에 있는 byte를 선택하며, h와 i는 각각 $0 \leq h \leq 3$, $0 \leq i \leq 63$ 이다. Byte selection에서는 h값이 서로 다른 네 개의 함수를 사용한다. Byte selection을 통해 얻어진 키 값은 XOR를 통해 index 값으로 변환된다.
- ③ Class H3[6] : $i \times j$ 크기의 행렬 Q가 있고, q(k)는 행렬의 k번째 열을 나타낸다. x(k)는 bit extraction을 통해 구한 키 값의 k번째 bit이다. 이 때 Hash 함수 $h_q(x)$ 는 아래와 같이 정의된다.

$$h_q(x) = x(1) \cdot q(1) \oplus x(2) \cdot q(2) \oplus \dots \oplus x(i) \cdot q(i)$$

각 함수의 성능을 비교하기 위해, 950MHz AMD Duron CPU와 384MB 메모리 상에서 7000개의 signature와 백만 개의 단일 패킷을 사용했다. [표1]은 연산시간에 대한 실험 결과를 나타내는데, 표에서 연산시간은 각각의 hash 함수를 사용한 키 값 생성지연과 주어진 키 값을 이용한 filtering지연이 포함된다. 결과에 따르면 Bit Extraction 함수를 사용했을 때 가장 성능이 탁월했다.

Hash 함수	연산시간(ms)
Bit Extraction	5750
XOR	20775
Class H3	419350

[표 1] 백만 개의 단일 패킷에 대한 연산시간
결과에 따르면 Bit Extraction은 약 177Kpps의 연산속도를

나타내는데, 이는 대략 900Mbps 급의 인터넷 트래픽을 처리할 수 있는 능력이다.[7]

[표2]에 따르면 Class H3를 사용한 Bloom Filter가 가장 낮은 false-positive를 나타낸다. 그러나 false-positive는 함수의 종류보다 오히려 bit vector의 크기와 hash 함수의 수에 더 큰 영향을 받는다. 특히 $m=2^{24}$ 일 때 false-positive는 매우 낮아진다. 단 하나의 hash 함수만으로도 10^{-4} 수준의 에러 확률을 얻을 수 있으며, 현재 네트워크의 일반적인 수준인 10^{-6} 에서 10^{-9} 의 에러 확률을 얻기 위해서는 두개의 hash 함수만으로도 충분하다. 그러나 여전히 정상 패킷에 대한 false-positive의 가능성이 남아있으므로 Bloom Filter에서 월으로 인식된 패킷에 대한 2차적인 검사가 필요하다.

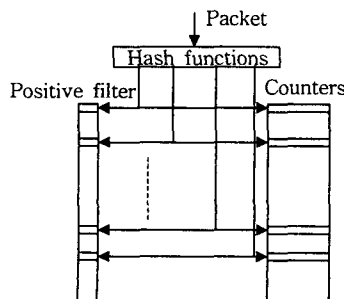
마지막으로, Bloom Filter가 요구하는 메모리 크기와 관련해서, $m=2^{24}$ 일 때 오직 2MB의 메모리가 필요하다. 이는 on-chip 메모리로 구현 가능한 크기이다.

		Bit Extraction	Byte selection with XOR	Class H3
$m=2^{16}$	k=1	이론값	0.1013	
		실험값	0.1051	0.1040
	k=2	이론값	0.0370	
		실험값	0.0404	0.0430
	k=4	이론값	0.0146	
		실험값	0.0165	0.0158
$m=2^{24}$	k=1	이론값	4.17e-04	
		실험값	1.79e-04	1.54e-04
	k=2	이론값	6.96e-07	
		실험값	0	0
	k=4	이론값	7.73e-12	
		실험값	0	0

[표 2] 백만 개의 단일 패킷에 대한 false-positive

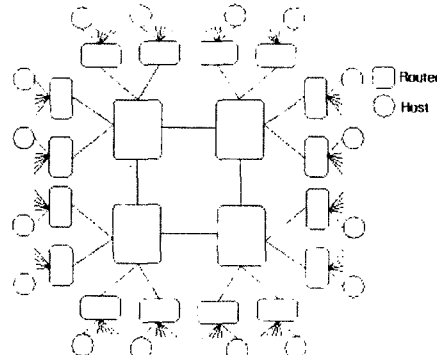
3. 알려지지 않은 월에 대한 filtering

알려지지 않은 월의 가장 큰 위협은 그것이 확산되기 전에는 월의 signature를 정의하기 힘들다는 점이다. 그래서 본고에서 제안하는 방법은 월의 일반적인 전파 특성을 -감염된 패킷의 전송 수가 기하급수적으로 증가- 이용한다. 이를 위해 Bloom Filter에 카운터를 추가했고, 그 구조는 [그림 1]과 같다.



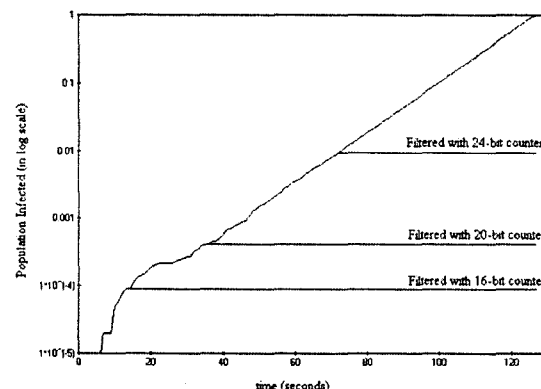
[그림 1] 알려지지 않은 월에 대한 filter 구조

Positive filter는 알려진 월에 대한 filter로서, 2장에서 소개한 Bloom Filter이다. Counter는 positive filter와 같은 index를 사용하여, hash 함수의 결과에 따라 각 counter 값이 1씩 증가 한다. Counter 값이 기준값 이상 증가하면 filter는 해당 패킷을 알려지지 않은 월으로 간주한다. 그런데, 증가만 반복할 경우 모든 counter값은 기준값을 넘게 되므로 일정시간마다 counter 값을 재설정되어야 한다. 이 때 재설정 주기는 네트워크 내의 filter의 위치에 따라 유연하게 설정되어야 한다. 실험에서는 재설정 시간 아래에 counter 값이 기준값을 초과하는 것으로 설정하였다.



[그림 2] 실험에서 사용한 네트워크 구조

실험에서는 [그림 2]와 같은 네트워크 구조를 사용했고, 2^{32} 개의 호스트는 네트워크 가장자리에 동일하게 분포되어 있다. 최초로 월을 감지한 라우터는 주위의 모든 라우터에 월에 대한 정보를 전송하며, 각 라우터는 자신의 positive filter를 갱신한다. 월에 감염된 호스트는 PRNG¹ 함수를 사용해서 초당 4000 개의 목적 주소를 생성하고, 생성된 주소를 통해 월 패킷을 전송한다. 총 호스트 중 월에 취약한 호스트는 총 10만개이며 월 패킷을 전송받은 호스트는 1초 후부터 월 패킷을 전송한다. 또한 hashing 지역은 패킷의 흐름에 영향을 주지 않을 만큼 작다고 가정하였다.



[그림 3] 시간에 따른 호스트의 감염 추이

¹ Pseudo Random Number Generation : SQL Slammer 월에 사용된 함수. $x' = (x * 214013 + 2531011) \bmod 2^{32}$

[그림 3]은 웜의 전파 속도를 나타내는데, 실험에서는 hash 함수 값을 XOR함으로써 하나의 counter index만 사용하였다. 즉 모든 패킷은 하나의 카운터 index를 가진다. 웜은 지수적으로 감염자가 증가하는 전형적인 전염현상을 보인다. 실험에서 기준값은 counter가 저장 가능한 가장 큰 값으로 설정했고, 특정 counter값이 기준값에 도달하면 라우터는 해당 패킷을 웜으로 간주한다. 웜이 라우터에 의해 차단되기 전까지 Counter 크기에 따른 감염된 호스트의 수는 [표 3]과 같다. 실험에 따르면 라우터는 웜이 전파되기 시작한 후 1분 이내에 충분히 웜을 차단할 수 있었으며, 웜의 전파를 억제함으로써 감염 수를 아주 낮게 줄일 수 있었다. 즉, 알려지지 않은 웜이 전파되기 시작한 경우, 새로운 웜에 대한 적절한 대응책이 나오기 이전의 피해를 크게 줄일 수 있음을 뜻하다.

Counter bit	감염된 호스트 수
16 bits	3
20 bits	42
24 bits	781
28 bits	13,493

[표 3. Counter 크기에 따른 감염된 호스트 수]

4. 결 론

속도와 false-positive 두 가지 관점에서 Bloom Filter의 가능성에 대해 논했다. Bloom Filter는 900MHz의 CPU를 이용해 서도 기가비트급에 가까운 처리 속도를 보장할 수 있었다. 그리고 2MB의 메모리만으로도 매우 낮은 false-positive를 가진다. On-chip 메모리를 사용한다면 빠른 처리 속도와 낮은 false-positive를 제공할 수 있다. 또한 Bloom Filter가 signature를 바탕으로 검색하므로, 알려지지 않은 웜의 차단에도 적용이 가능하다. 이는 Bloom Filter가 알려지지 않은 웜에 의한 피해를 효율적으로 막을 수 있는 하나의 방안임을 뜻한다.

실험에서는 실제 웜이 아닌 임의로 생성한 signature를 사용했고, 몇 가지 제약 조건이 있었다. 앞으로, 이러한 문제에 관해 추가적인 실험이 필요하고, 실제 네트워크 상에서의 성능과 개선점에 대한 연구가 필요하다.

참고

1. B. Bloom, "Space/time tradeoffs in hash coding with allowable errors," *Communications of ACM*, vol. 13, no. 7, pp. 422-426, July 1970.
2. D. Moore, V. Paxson, S. Savage, C. Shannon, S. Staniford, N. Weaver, "The spread of the Sapphire/Slammer Worm," <http://www.caida.org/outreach/papers/2003/sapphire/>
3. <http://isc.incidents.org/>
4. D. Moore, C. Shannon, G. M. Voelker, S. Savage, "Internet Quarantine: Requirements for Containing Self-Propagating Code," *Proceedings of IEEE INFOCOM*, 2003.
5. E. Fu, E. Bahcekapili, M.V. Ramakrishna, "Efficient hardware hashing functions for high performance computers," *IEEE Transactions on Computers*, vol. 46, No. 12, December 1997.
6. L. Carter and M. Wegman, "Universal Classes of Hashing Functions," *J. Computer and System Sciences*, vol. 18, no. 2, pp. 143-154, 1979.
7. H. Kim, "Fast classification, calibration, and visualization of network attacks on backbone links," submitted for publication. <http://net.korea.ac.kr/papers/ccv.pdf>